

1. Преобразование Фурье(new2)

П1. Основные свойства и теоремы преобразования Фурье.

Все реальные сигналы являются действительными функциями времени и имеют конечную удельную энергию:

$$\int_{-\infty}^{\infty} |x(t)|^2 dt < \infty. \quad (\text{П1.1})$$

Действительно, если $x(t)$ – напряжение (или ток), действующее на единичном сопротивлении, то интеграл представляет энергию, выделяемую на единичном сопротивлении, и эта энергия конечна. В этом случае $x(t)$ – функция с интегрируемым квадратом на всей оси.

Известно, что для существования преобразования Фурье достаточно выполнения следующих условий Дирихле:

- а) $x(t)$ ограничена при $t \in (-\infty, \infty)$;
- б) $x(t)$ абсолютно интегрируема на $(-\infty, \infty)$;
- в) $x(t)$ имеет конечное число максимумов и минимумов, а также конечное число разрывов на каждом конечном интервале.

Имеет место *теорема Планшереля*: если $x(t)$ – функция с интегрируемым квадратом на всей оси, то существует функция $X(f)$ также с интегрируемым квадратом на всей оси и связанная с $x(t)$ соотношением

$$X(f) = \text{l. i. m.} \int_{-T}^T x(t) e^{-j2\pi f t} dt, \quad (\text{П1.2})$$

где л. i. m. понимается как предел в среднем (limit in the mean):

$$\lim_{T \rightarrow \infty} \int_{-\infty}^{\infty} \left| X(f) - \int_{-T}^T x(t) e^{-j2\pi f t} dt \right|^2 df = 0. \quad (\text{П1.3})$$

Аналогично, если $X(f)$ – функция с интегрируемым квадратом на всей оси, то существует функция $x(t)$ также с интегрируемым квадратом на всей оси и связанная с $X(f)$ соотношением

$$x(t) = \text{l. i. m.} \int_{-W}^W X(f) e^{j2\pi f t} df. \quad (\text{П1.4})$$

В этом случае имеет место равенство Парсеваля:

$$\int_{-\infty}^{\infty} |x(t)|^2 dt = \int_{-\infty}^{\infty} |X(f)|^2 df. \quad (\text{П1.5})$$

Если в дополнение к сказанному функция $x(t)$ абсолютно интегрируема, то

$$X(f) = \int_{-\infty}^{\infty} x(t) e^{-j2\pi f t} dt. \quad (\text{П1.6})$$

Если и функция $X(f)$ абсолютно интегрируема, то

$$x(t) = \int_{-\infty}^{\infty} X(f) e^{j2\pi f t} df. \quad (\text{П1.7})$$

Соотношения (П1.6) и (П1.7) определяют пару преобразований Фурье (ПФ) соответственно прямое и обратное.

Для частоты $\omega = 2\pi f$ пара ПФ имеет вид

$$X(\omega) = \int_{-\infty}^{\infty} x(t) e^{-j\omega t} dt, \quad (\text{П1.8})$$

$$x(t) = \frac{1}{2\pi} \int_{-\infty}^{\infty} X(\omega) e^{j\omega t} d\omega. \quad (\text{П1.9})$$

Интеграл (П1.8) называется *спектральной плотностью*, а интеграл (П1.9) – интегралом Фурье.

Интеграл Фурье сходится к значению $x(t)$ в каждой точке, не имеющей разрыва, и к величине, равной среднему значению лево- и правостороннего пределов в точке разрыва $x(t)$.

Теорема Планшереля имеет важное практическое значение, так как часто приходится использовать *финитное преобразование Фурье*, т. е. преобразование Фурье с конечными пределами интегрирования.

Пара ПФ символически изображается в виде

$$x(t) \leftrightarrow X(\omega), \quad x(t) \leftrightarrow X(f).$$

В дальнейшем мы будем использовать обе формы записи ПФ.

Свойства спектральной плотности

1) В общем случае $X(\omega)$ – комплексная функция частоты:

$$X(\omega) = \operatorname{Re}[X(\omega)] + j \operatorname{Im}[X(\omega)] = A(\omega) - jB(\omega) = |X(\omega)| e^{j\varphi(\omega)},$$

где

$$\operatorname{Re}[X(\omega)] = A(\omega) = \int_{-\infty}^{\infty} x(t) \cos \omega t \, dt, \quad (\text{П1.10})$$

$$\operatorname{Im}[X(\omega)] = -B(\omega) = -\int_{-\infty}^{\infty} x(t) \sin \omega t \, dt, \quad (\text{П1.11})$$

$$|X(\omega)| = \sqrt{A^2(\omega) + B^2(\omega)} \quad (\text{П1.12})$$

– амплитудно-частотная характеристика (АЧХ),

$$\varphi(\omega) = -\operatorname{arctg} \frac{B(\omega)}{A(\omega)} \quad (\text{П1.13})$$

– фазочастотная характеристика (ФЧХ) сигнала.

2) *Свойства симметрии* $X(\omega)$. Для действительного сигнала (физические сигналы всегда действительные функции) имеет место

$$X(\omega) = X^*(-\omega). \quad (\text{П1.14})$$

Это означает, что для действительного сигнала $A(\omega)$ и $|X(\omega)|$ – чётные функции, а $B(\omega)$ и $\varphi(\omega)$ – нечётные функции частоты. Если в дополнение к этому $x(t)$ – чётная функция, то

$$X(\omega) = X(-\omega) = A(\omega), \quad (\text{П1.15})$$

т. е. спектральная плотность является действительной и чётной функцией ω .

Основные спектральные теоремы

1) *Свойство линейности (спектр суммы равен сумме спектров)*

$$\int_{-\infty}^{\infty} [x_1(t) + x_2(t)] e^{-j\omega t} \, dt = X_1(\omega) + X_2(\omega). \quad (\text{П1.16})$$

2) *Теорема запаздывания*

$$X_{\tau}(\omega) = \int_{-\infty}^{\infty} x(t - \tau) e^{-j\omega t} \, dt = e^{-j\omega \tau} X(\omega). \quad (\text{П1.17})$$

3) *Теорема Парсеваля–Релея*

$$\int_{-\infty}^{\infty} x_1(t) x_2^*(t) \, dt = \frac{1}{2\pi} \int_{-\infty}^{\infty} X_1(\omega) X_2^*(\omega) \, d\omega. \quad (\text{П1.18})$$

Если сигналы действительные и $x_1 = x_2 = x$, то

$$\int_{-\infty}^{\infty} x^2(t) \, dt = \frac{1}{\pi} \int_0^{\infty} |X(\omega)|^2 \, d\omega = 2 \int_0^{\infty} |X(f)|^2 \, df. \quad (\text{П1.19})$$

Пусть $x(t)$ – напряжение (или ток), действующее на единичном сопротивлении, тогда функция

$$\psi_x(f) = |X(f)|^2 = X(f) \cdot X^*(f) \quad (\text{П1.20})$$

по физическому смыслу представляет *спектральную плотность энергии* сигнала. Эту плотность иногда называют *энергетическим спектром* сигнала. Спектральная плотность энергии описывает энергию сигнала на единицу ширины полосы и измеряется в Дж/Гц.

4) Теорема о спектре произведения

$$\begin{aligned} \int_{-\infty}^{\infty} x_1(t) x_2(t) e^{-j\omega t} dt &= \int_{-\infty}^{\infty} x_2(t) \left[\frac{1}{2\pi} \int_{-\infty}^{\infty} X_1(\tilde{\omega}) e^{j\tilde{\omega} t} d\tilde{\omega} \right] e^{-j\omega t} dt = \\ &= \frac{1}{2\pi} \int_{-\infty}^{\infty} X_1(\tilde{\omega}) \left[\int_{-\infty}^{\infty} x_2(t) e^{-j(\omega - \tilde{\omega})t} dt \right] d\tilde{\omega} = \\ &= \frac{1}{2\pi} \int_{-\infty}^{\infty} X_1(\tilde{\omega}) X_2(\omega - \tilde{\omega}) d\tilde{\omega} = X_1(\omega) \otimes X_2(\omega), \end{aligned} \quad (\text{П1.21})$$

т. е. спектр произведения двух сигналов равен свертке их спектров.

5) *Теорема о спектре свертки.* Составим свертку двух функций:

$$y(t) = x_1(t) \otimes x_2(t) = \int_{-\infty}^{\infty} x_1(\tau) x_2(t - \tau) d\tau \quad (\text{П1.22})$$

и вычислим ее спектр:

$$\begin{aligned} Y(\omega) &= \int_{-\infty}^{\infty} \left[\int_{-\infty}^{\infty} x_1(\tau) x_2(t - \tau) d\tau \right] e^{-j\omega t} dt = \\ &= \int_{-\infty}^{\infty} x_1(\tau) \left[\int_{-\infty}^{\infty} x_2(t - \tau) e^{-j\omega t} dt \right] d\tau. \end{aligned}$$

Делая замену $\vartheta = t - \tau$, получаем

$$Y(\omega) = \int_{-\infty}^{\infty} x_1(\tau) e^{-j\omega \tau} d\tau \int_{-\infty}^{\infty} x_2(\vartheta) e^{-j\omega \vartheta} d\vartheta = X_1(\omega) X_2(\omega), \quad (\text{П1.23})$$

т. е. спектр свертки двух сигналов равен произведению их спектров. Эта теорема имеет большое значение в задачах фильтрации сигналов.

Пусть, например, $x(t)$ – входной сигнал линейного фильтра, а $h(t)$ – импульсная характеристика фильтра (по определению отклик на дельта-импульс) и пусть $x(t) \overset{\text{ПФ}}{\leftrightarrow} X(\omega)$, $h(t) \overset{\text{ПФ}}{\leftrightarrow} H(\omega)$. Тогда по теореме о спектре свертки для выходного сигнала фильтра имеем:

$$y(t) = \int_{-\infty}^{\infty} x(\tau) h(t - \tau) d\tau = x(t) \otimes h(t) \overset{\text{ПФ}}{\leftrightarrow} X(\omega) H(\omega). \quad (\text{П1.24})$$

Операцию фильтрации часто проще реализовать в частотной области, чем во временной.

б) *Автокорреляционная функция и её спектр.* Эта функция для действительного сигнала $x(t)$ определяется следующим образом:

$$R_x(\tau) = \int_{-\infty}^{\infty} x(t) x(t + \tau) dt. \quad (\text{П1.25})$$

Она показывает меру схожести сигнала с его копией, смещённой на τ единиц времени. Переменная τ играет роль параметра сканирования или поиска. $R_x(\tau)$ – это не функция времени, а функция смещения τ между сигналом и его копией.

Используя (П1.25), можно показать, что для действительного сигнала $x(t)$ его автокорреляционная функция $R_x(\tau)$ и спектральная плотность энергии $\psi_x(\omega) = |X(\omega)|^2$ связаны парой ПФ:

$$R_x(\tau) \leftrightarrow \psi_x(\omega). \quad (\text{П1.26})$$

П2. Дельта-функция и её спектр

Введём в рассмотрение дельта-функции Дирака. Их корректное определение даётся в теории обобщённых функций. Здесь мы воспользуемся некоторыми полезными свойствами этих функций.

$$\int_{t_0-\varepsilon}^{t_0+\varepsilon} \delta(t-t_0) dt = 1 \text{ при любом } \varepsilon > 0. \quad (\text{П2.2})$$

Из этого соотношения следует, что дельта-функция имеет размерность, обратную размерности её аргумента.

Часто желательно определять эту функцию так, чтобы она была чётной функцией своего аргумента:

$$\delta(t-t_0) = \delta(t_0-t), \quad (\text{П2.3})$$

в этом случае

$$\int_{t_0-\varepsilon}^{t_0} \delta(t-t_0) dt = \int_{t_0}^{t_0+\varepsilon} \delta(t-t_0) dt = \frac{1}{2}, \quad \varepsilon > 0. \quad (\text{П2.4})$$

Предположим, что дельта-функция интегрируема по интервалу $(-\infty, t)$. Тогда

$$\int_{-\infty}^t \delta(\tau-t_0) d\tau = \sigma(t-t_0), \quad (\text{П2.5})$$

где $\sigma(t-t_0)$ – функция единичного скачка или функция Хевисайда:

$$\sigma(t-t_0) = \begin{cases} 0 & \text{при } t < t_0, \\ 1/2 & \text{при } t = t_0, \\ 1 & \text{при } t > t_0. \end{cases} \quad (\text{П2.6})$$

Таким образом, функция единичного скачка является интегралом от дельта-функции. Следовательно:

$$\sigma'(t-t_0) = \delta(t-t_0). \quad (\text{П2.7})$$

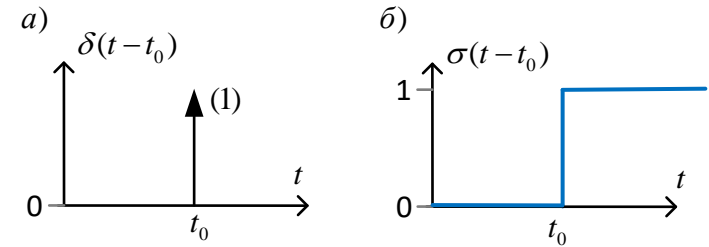


Рис. П2.1 а – дельта-функция, б – функция единичного скачка

Рассмотрим три импульса (рис. П2.2) с общим свойством площади их равны единице.

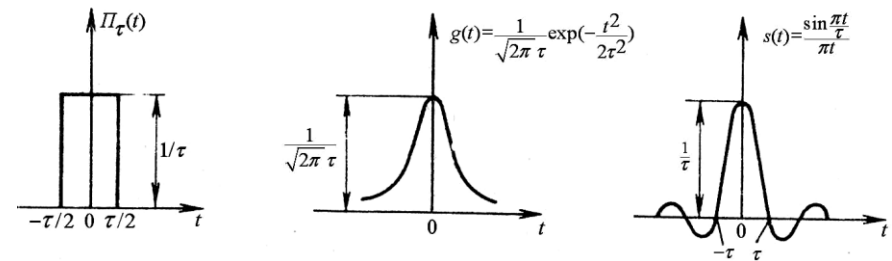


Рис. П2.2. Импульсы, обращающиеся в дельта-функцию, при стремлении их длительности к нулю

Введём предельные соотношения:

$$\lim_{\tau \rightarrow 0} \Pi_{\tau}(t) = \delta(t);$$

$$\lim_{\tau \rightarrow 0} \frac{1}{\sqrt{2\pi} \tau} \exp\left(-\frac{t^2}{2\tau^2}\right) = \delta(t);$$

$$\lim_{\tau \rightarrow 0} \frac{\sin \frac{\pi t}{\tau}}{\pi t} = \delta(t).$$

Каждая из приведённых аппроксимирующих функций (импульсов) является простым и физически наглядным прототипом дельта-функции. Однако следует отметить, что дельта-функция не является ни функцией в классическом смысле, ни импульсом, а является обобщенной функцией.

Известно так называемое *фильтрующее свойство* дельта-функции, заключающееся в том, что её свёртка с любой ограниченной и непрерывной в точке t_0 функцией $x(t)$ равна

$$\int_a^b x(t) \delta(t - t_0) dt = \begin{cases} x(t_0), & a < t_0 < b, \\ (1/2)x(t_0), & t_0 = a \text{ или } t_0 = b, \\ 0, & t_0 < a, \quad t_0 > b. \end{cases} \quad (\text{П2.8})$$

Если функция $x(t)$ в точке $t = t_0$ имеет разрыв (первого рода), то

$$\int_a^b x(t) \delta(t - t_0) dt = (1/2)[x(t_{0+}) + x(t_{0-})], \quad a < t_0 < b, \quad (\text{П2.9})$$

где $x(t_{0+})$ и $x(t_{0-})$ – значения $x(t)$ справа и слева от точки разрыва.

Доказательство (П2.8) получается, если под знак интеграла подставить вместо $\delta(t - t_0)$ любую аппроксимирующую её функцию (рис. П2.2), а затем перейти к пределу.

Если a – действительная величина, то выполняются следующие равенства:

$$\int_{-\infty}^{\infty} x(t) \delta(t - a) dt = x(a), \quad (\text{П2.10})$$

$$x(t) \otimes \delta(t - a) = x(t - a), \quad (\text{П2.11})$$

$$x(t) \cdot \delta(t - a) = x(a) \cdot \delta(t - a), \quad (\text{П2.12})$$

$$\delta[(t - t_0)/a] = |a| \delta(t - t_0) \quad \text{и} \quad \delta(at - t_0) = \frac{1}{|a|} \delta(t - \frac{t_0}{a}). \quad (\text{П2.13})$$

На основании (П2.10) находим, что

$$\int_{-\infty}^{\infty} \delta(t) e^{-j2\pi f t} dt = e^0 = 1, \quad (\text{П2.14})$$

т. е. спектр дельта-функции постоянен на всех частотах. Отсюда еще одно полезное соотношение (обратное ПФ):

$$\delta(t) = \int_{-\infty}^{\infty} e^{j2\pi f t} df = \int_{-\infty}^{\infty} e^{-j2\pi f t} df. \quad (\text{П2.15})$$

Аналогично, из того, что $1 \leftrightarrow \delta(f)$, можем записать

$$\delta(f) = \int_{-\infty}^{\infty} e^{-j2\pi f t} dt = \int_{-\infty}^{\infty} e^{j2\pi f t} dt, \quad (\text{П2.16})$$

$$\delta(f - f_0) = \int_{-\infty}^{\infty} e^{-j2\pi(f - f_0)t} dt, \quad (\text{П2.17})$$

$$e^{j2\pi f_0 t} \leftrightarrow \delta(f - f_0). \quad (\text{П2.18})$$

Из последних соотношений видно, что спектр единичной константы есть дельта-функция, сосредоточенная в нуле, а спектр комплексной экспоненты $e^{j2\pi f_0 t}$ – одиночная дельта-функция, сосредоточенная в точке f_0 . Для частоты $\omega = 2\pi f$ соответствие (П2.18) записывается в виде

$$e^{j\omega_0 t} \leftrightarrow 2\pi \delta(\omega - \omega_0). \quad (\text{П2.19})$$

П.3. Спектры импульсных сигналов

Пример ПЗ.1. В качестве примера рассмотрим симметричный одиночный прямоугольный импульс с амплитудой E и длительностью τ (рис. ПЗ.1а).

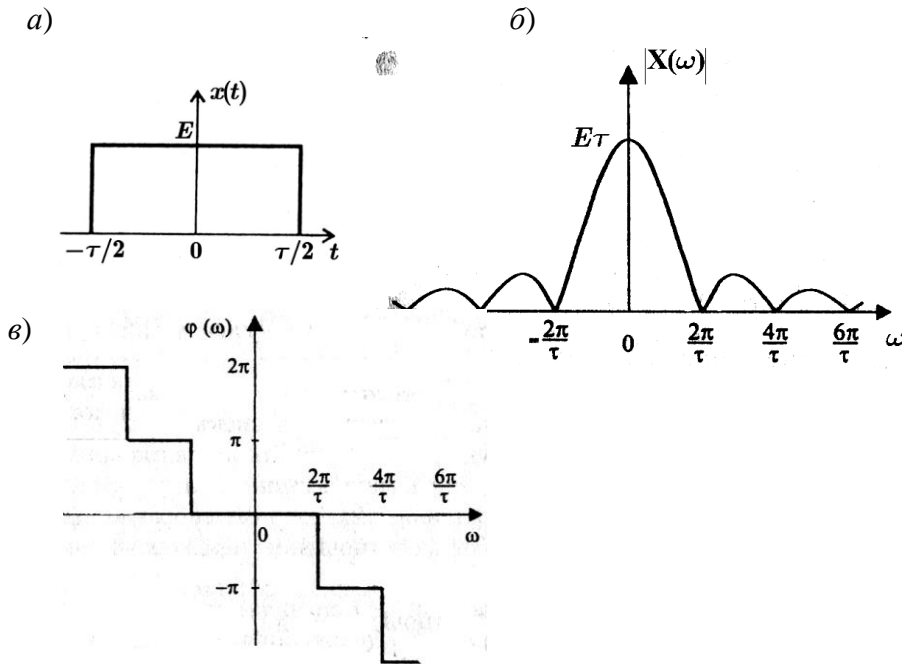


Рис. ПЗ.1. а – симметричный прямоугольный импульс, б – амплитудный спектр, в – фазовый спектр

Спектральная функция такого импульса

$$X(\omega) = \int_{-\tau/2}^{\tau/2} E e^{-j\omega t} dt = -\frac{E}{j\omega} e^{-j\omega t} \Big|_{-\tau/2}^{\tau/2} = E\tau \frac{\sin \frac{\omega\tau}{2}}{\frac{\omega\tau}{2}}. \quad (\text{ПЗ.1})$$

АЧХ есть непрерывная функция частоты (рис. ПЗ.1б). Ширина главного лепестка $|X(\omega)|$ на нулевом уровне составляет $4\pi/\tau$.

Максимум главного лепестка равен площади импульса $E\tau$, а максимумы боковых лепестков

$$\frac{2E\tau}{(2n+1)\pi}, \quad (\text{ПЗ.2})$$

где $n = 1, 2, 3, \dots$ – номер бокового лепестка. ФЧХ (рис. ПЗ.1в) учитывает изменение знака синуса.

В качестве примера на рис. ПЗ.2 изображены (для положительных частот) амплитудный и фазовый спектры прямоугольного импульса длительностью $\tau = 1$ мс и амплитудой $E = 1$ В. АЧХ показана на рис. ПЗ.2а, ФЧХ симметричного импульса – на рис. ПЗ.2б. Здесь также учтено изменение знака синуса.

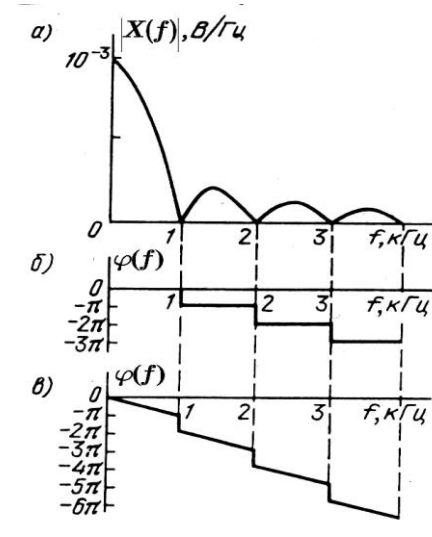


Рис. ПЗ.2

Однако для импульса, задержанного на $\tau/2$, спектральная функция

$$X(f) = E\tau \frac{\sin \pi f \tau}{\pi f \tau} e^{-j\pi f \tau} \quad (\text{П3.3})$$

отличается наличием фазового множителя $e^{-j\pi f \tau}$ и ФЧХ имеет вид, представленный рис. П3.2в. Действительно

$$\varphi(f) = -\pi f \tau, \quad 0 \leq f < \frac{1}{\tau}; \quad \varphi(f) = -\pi f \tau - \pi, \quad \frac{1}{\tau} \leq f < \frac{2}{\tau};$$

Пример П3.3. Используя равенство Парсеваля для прямоугольного импульса, вычислить интеграл

$$\int_{-\infty}^{\infty} \left(\frac{\sin \theta}{\theta} \right)^2 d\theta.$$

Пара преобразования Фурье для прямоугольного импульса в примере 1 имеет вид

$$x(t) \Leftrightarrow X(f) = E\tau \frac{\sin \pi f \tau}{\pi f \tau}.$$

Запишем равенство Парсеваля

$$\int_{-\infty}^{\infty} |x(t)|^2 dt = \int_{-\infty}^{\infty} |X(f)|^2 df$$

или

$$E^2 \int_{-\tau/2}^{\tau/2} dt = E^2 \tau^2 \int_{-\infty}^{\infty} \left| \frac{\sin \pi f \tau}{\pi f \tau} \right|^2 df.$$

Сделаем замену

$$\theta = \pi f \tau, \quad d\theta = \pi \tau df, \quad \text{тогда}$$

$$1 = \tau \int_{-\infty}^{\infty} \left| \frac{\sin \theta}{\theta} \right|^2 \frac{d\theta}{\pi \tau}.$$

Отсюда

$$\int_{-\infty}^{\infty} \left(\frac{\sin \theta}{\theta} \right)^2 d\theta = \pi.$$

П4. Спектры периодических сигналов

Пример П4.1 Спектр гармонического сигнала

Рассмотрим функцию

$$x(t) = e^{j\omega_0 t}, \quad -\infty < t < \infty, \quad (\text{П4.1})$$

представляющую в комплексной форме гармонический сигнал с частотой ω_0 . Используя интегральное соотношение для дельта-функции (П2.9)

$$2\pi\delta(\omega) = \int_{-\infty}^{\infty} e^{-j\omega t} dt = \int_{-\infty}^{\infty} e^{j\omega t} dt,$$

можем записать:

$$e^{j\omega_0 t} \Leftrightarrow \int_{-\infty}^{\infty} e^{-j(\omega - \omega_0)t} dt = 2\pi\delta(\omega - \omega_0). \quad (\text{П4.2})$$

Это важное соотношение мы используем для получения спектральной функции периодического сигнала.

Для действительных гармонических сигналов с учётом формул Эйлера имеет место

$$\cos \omega_0 t \Leftrightarrow \pi [\delta(\omega - \omega_0) + \delta(\omega + \omega_0)], \quad (\text{П4.3})$$

$$\sin \omega_0 t \Leftrightarrow \frac{\pi}{j} [\delta(\omega - \omega_0) - \delta(\omega + \omega_0)]. \quad (\text{П4.4})$$

Пример П4.2. Спектр периодического сигнала

Рассмотрим сигнал с периодом T . Такой сигнал может быть представлен своим рядом Фурье по T -периодическим комплексным экспоненциальным функциям

$$x(t) = \sum_{n=-\infty}^{\infty} A_n e^{j\frac{2\pi}{T}nt} = \sum_{n=-\infty}^{\infty} A_n e^{jn\Delta\omega t}, \quad (\text{П.4.5})$$

где по определению

$$A_n = \frac{1}{T} \int_{-T/2}^{T/2} x(t) e^{-jn\Delta\omega t} dt \quad (\text{П.4.6})$$

есть коэффициенты Фурье, а $\Delta\omega = \frac{2\pi}{T}$ – расстояние между

гармониками в спектре T -периодического сигнала.

Предполагается, что функция $x(t)$ удовлетворяет условиям

Дирихле, т. е. $x(t)$ или непрерывная, или имеет конечное число разрывов на интервале $[-T/2, T/2]$, и число максимумов и минимумов на этом интервале конечно.

Чтобы получить спектральную функцию $X_{\Pi}(\omega)$ T -периодического сигнала, воспользуемся приведенным выше выражением для спектра комплексного гармонического сигнала. Тогда

$$x(t) = \sum_{n=-\infty}^{\infty} A_n e^{jn\Delta\omega t} \leftrightarrow X_{\Pi}(\omega) = 2\pi \sum_{n=-\infty}^{\infty} A_n \delta(\omega - n\Delta\omega). \quad (\text{П.4.7})$$

Таким образом, спектральная функция T -периодического сигнала имеет дискретную структуру в виде взвешенной последовательности дельта-функций. Площади отдельных δ -функций равны соответствующим коэффициентам Фурье с множителем 2π , а период следования на частотной оси $\Delta\omega = 2\pi/T$. Такое представление спектра периодического сигнала является удобной математической идеализацией, как впрочем идеализацией является и сам периодический сигнал.

Размерность дискретного амплитудного спектра A_n имеет размерность самого сигнала, в то время как спектральная функция $X_{\Pi}(\omega)$ периодического сигнала имеет размерность самого сигнала, умноженную на размерность времени.

Средняя мощность периодического сигнала

$$\begin{aligned} P_x &= \frac{1}{T} \int_{-T/2}^{T/2} |x(t)|^2 dt = \frac{1}{T} \int_{-T/2}^{T/2} x(t) \cdot x^*(t) dt = \\ &= \sum_{n=-\infty}^{\infty} \sum_{m=-\infty}^{\infty} A_n A_m^* \frac{1}{T} \int_{-T/2}^{T/2} e^{jn\Delta\omega t} \cdot e^{-jm\Delta\omega t} dt = \sum_{n=-\infty}^{\infty} |A_n|^2 \end{aligned} \quad (\text{П.4.8})$$

определяется суммой мощностей всех его спектральных компонент. Формула (П.4.8) есть *равенство Парсеваля для периодического сигнала*. Выделим один период $x(t)$:

$$x_T(t) = \begin{cases} x(t), & -T/2 \leq t < T/2, \\ 0, & |t| \geq T/2. \end{cases}$$

Преобразование Фурье такого сигнала конечной длительности

$$X_T(\omega) = \int_{-T/2}^{T/2} x(t) e^{-j\omega t} dt$$

связано с коэффициентами Фурье T -периодического сигнала очевидным соотношением:

$$A_n = \frac{1}{T} X_T(n\Delta\omega). \quad (\text{П.4.9})$$

Пример П4.3. Спектр периодической последовательности дельта-функций

$$D(t) = \sum_{k=-\infty}^{\infty} \delta(t - kT). \quad (\text{П.4.10})$$

Эту последовательность иногда называют *гребенкой Дирака*. Ряд Фурье такой T -периодической последовательности дельта-функций

$$D(t) = \sum_{n=-\infty}^{\infty} C_n e^{j\frac{2\pi}{T}nt} = \frac{1}{T} \sum_{n=-\infty}^{\infty} e^{jn\Delta\omega t}, \quad (\text{П4.11})$$

где коэффициенты Фурье

$$C_n = \frac{1}{T} \int_{-T/2}^{T/2} \delta(t-kT) e^{-j\frac{2\pi}{T}nt} dt = \frac{1}{T} \text{ для всех } n.$$

По аналогии с T -периодическим сигналом можем записать

$$\begin{aligned} D_T(t) &= \sum_{k=-\infty}^{\infty} \delta(t-kT) = \frac{1}{T} \sum_{n=-\infty}^{\infty} e^{jn\Delta\omega t} \leftrightarrow \frac{2\pi}{T} \sum_{n=-\infty}^{\infty} \delta(\omega - n\Delta\omega) = \\ &= \Delta\omega \sum_{n=-\infty}^{\infty} \delta(\omega - n\Delta\omega) = D_{\Delta\omega}(\omega). \end{aligned}$$

Соответствие $D_T(t) \leftrightarrow D_{\Delta\omega}(\omega)$ или

$$\sum_{k=-\infty}^{\infty} \delta(t-kT) \leftrightarrow \Delta\omega \sum_{n=-\infty}^{\infty} \delta(\omega - n\Delta\omega) \quad (\text{П4.12})$$

называется *формулой Пуассона* и иллюстрируется на рис. П4.3.1, где в круглых скобках отмечены площади отдельных дельта-импульсов и по-прежнему $\Delta\omega = 2\pi/T$.

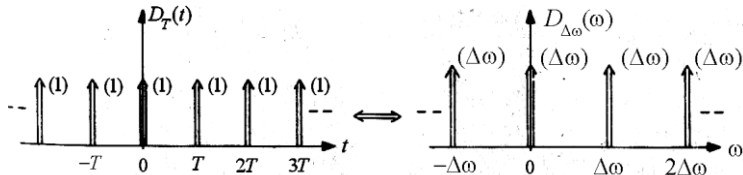


Рис. П4.3. 1. Соответствие $D_T(t) \leftrightarrow D_{\Delta\omega}(\omega)$

Пример П4.4. Спектральная функция периодической последовательности прямоугольных импульсов

Соответствие (П.5.12) удобно использовать, например, для нахождения спектра сигнала, полученного периодическим повторением одиночного импульса. Возьмем для примера одиночный прямоугольный импульс с амплитудой E , длительностью τ и повторим его с периодом T_0 . Такой, T_0 -периодический сигнал $x(t)$ может быть представлен в виде свертки

$$x(t) = x_{T_0}(t) \otimes \sum_{k=-\infty}^{\infty} \delta(t - kT_0)$$

сигнала на одном периоде $x_{T_0}(t)$ и T_0 -периодической последовательности дельта-функций $D_{T_0}(t)$. В спектральной области свертке соответствует произведение Фурье-образов

$$\begin{aligned} X(\omega) &= \Delta\omega \sum_{n=-\infty}^{\infty} X_{T_0}(\omega) \delta(\omega - n\Delta\omega) = \\ &= \Delta\omega \sum_{n=-\infty}^{\infty} X_{T_0}(n\Delta\omega) \delta(\omega - n\Delta\omega), \end{aligned}$$

Спектральная функция такой последовательности равна

$$X(\omega) = E\tau \Delta\omega \sum_{n=-\infty}^{\infty} \frac{\sin \frac{n\Delta\omega\tau}{2}}{\frac{n\Delta\omega\tau}{2}} \delta(\omega - n\Delta\omega) \quad (\text{П4.13})$$

и изображена по модулю на рис. П5.4.1 для случая $T_0 = 3\tau$.

Таким образом, спектральная функция T_0 -периодической последовательности прямоугольных импульсов имеет дискретную структуру в виде взвешенной последовательности дельта-функций.

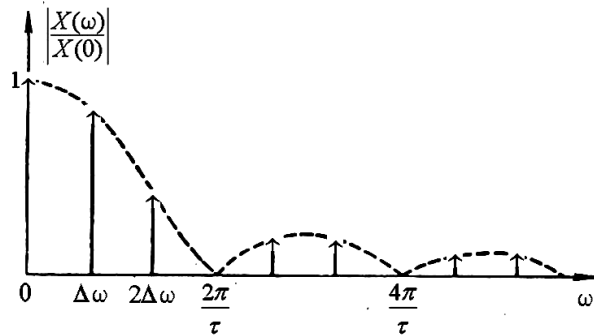


Рис. П4.4.1. Спектр периодической последовательности прямоугольных импульсов

Площади отдельных δ -функций равны $E\tau\Delta\omega \frac{\sin \frac{n\Delta\omega\tau}{2}}{\frac{n\Delta\omega\tau}{2}}$, а период

следования на частотной оси $\Delta\omega = 2\pi/T_0$.

Пример П4.5. Определить и изобразить спектр $X(f)$ гармонического сигнала

$$x(t) = \cos(2\pi f_1 t) + 3\cos(2\pi f_2 t)$$

где $f_1 = 100$ Гц, $f_2 = 200$ Гц.

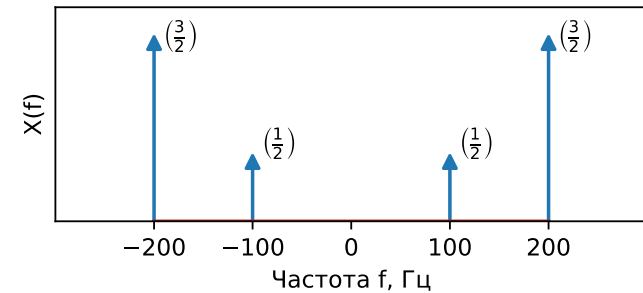
Решение

По свойствам преобразования Фурье

$$\begin{aligned} \exp(j2\pi f_0 t) &\stackrel{FT}{\leftrightarrow} \delta(f - f_0), \\ \cos(2\pi f_0 t) &\stackrel{FT}{\leftrightarrow} \frac{1}{2}\delta(f - f_0) + \frac{1}{2}\delta(f + f_0). \end{aligned}$$

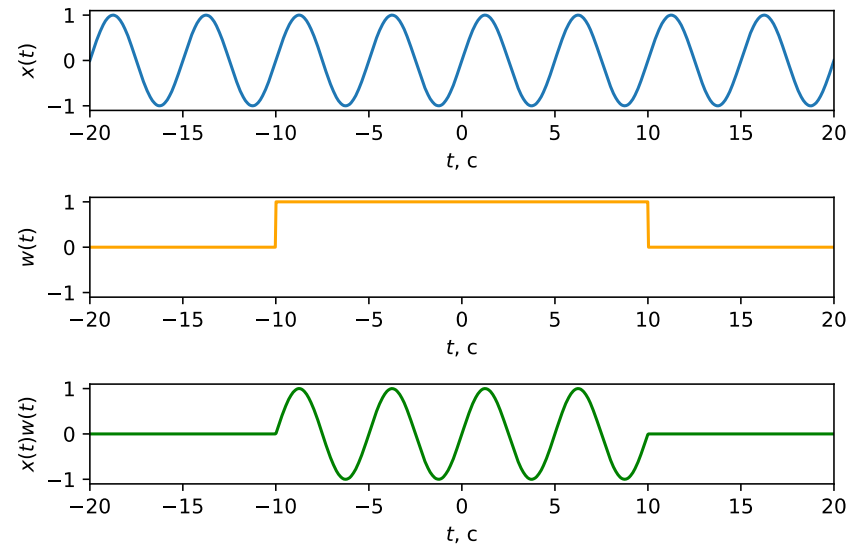
Тогда по свойству линейности преобразования Фурье

$$X(f) = \frac{1}{2}\delta(f - f_1) + \frac{1}{2}\delta(f + f_1) + \frac{3}{2}\delta(f - f_2) + \frac{3}{2}\delta(f + f_2)$$



П.5 Эффект растекания спектра при ограничении длительности сигнала.

Ограничение сигнала по длительности эквивалентно умножению на прямоугольную оконную функцию.



$$y(t) = w(t)x(t). \text{ Пусть } x(t) \stackrel{FT}{\leftrightarrow} X(f), w(t) \stackrel{FT}{\leftrightarrow} W(f), y(t) \stackrel{FT}{\leftrightarrow} Y(f).$$

$$w(t)x(t) \xleftrightarrow{FT} W(f) \otimes X(f), \quad w(t)x(t) \xleftrightarrow{FT} \int_{-\infty}^{\infty} W(\tilde{f})X(f - \tilde{f})d\tilde{f}.$$

В нашем примере

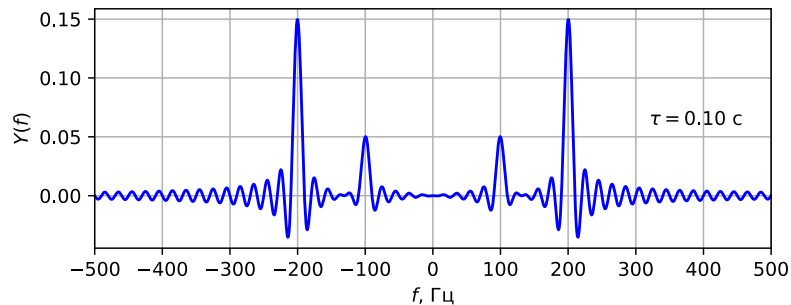
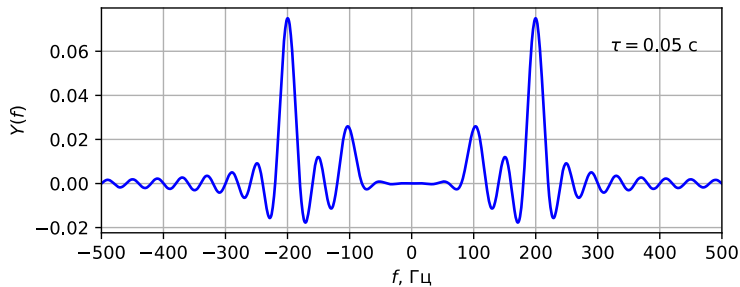
$$X(f) = \frac{1}{2}\delta(f - f_1) + \frac{1}{2}\delta(f + f_1) + \frac{3}{2}\delta(f - f_2) + \frac{3}{2}\delta(f + f_2).$$

$$w(t)x(t) \xleftrightarrow{FT} \int_{-\infty}^{\infty} W(\tilde{f})X(f - \tilde{f})d\tilde{f}.$$

$$Y(f) = \frac{1}{2}W(f - f_1) + \frac{1}{2}W(f + f_1) + \frac{3}{2}W(f - f_2) + \frac{3}{2}W(f + f_2).$$

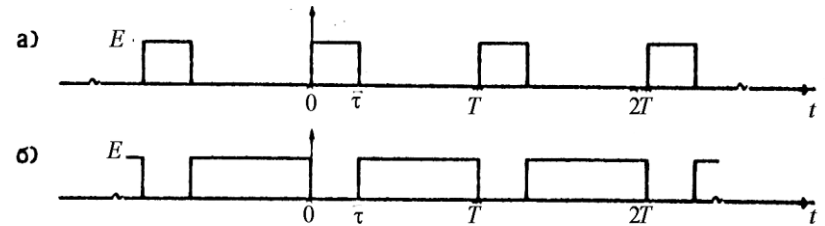
Спектр прямоугольного окна длиной τ соответствует спектру
прямоугольного импульса длиной τ с высотой $E = 1$

$$W(f) = \int_{-\tau/2}^{\tau/2} Ee^{-j2\pi ft} dt = \frac{1}{-j2\pi f} e^{-j2\pi ft} \Big|_{-\tau/2}^{\tau/2} = \frac{\sin(\pi f \tau)}{\pi f} = \tau \frac{\sin(\pi f \tau)}{\pi f \tau}.$$



Задачи для самостоятельного решения

1. Изобразить на одном чертеже модули спектров двух последовательностей с одинаковым периодом T .



Указать значение максимальной спектральной плотности.

2. Определить спектр окна Ханна длительностью $\tau = 2T$.

$$w(t) = \begin{cases} \frac{1}{2} \left(1 + \cos\left(\frac{\pi t}{T}\right) \right), & \text{если } |t| < T, \\ 0, & \text{если } |t| \geq T. \end{cases}$$

Найти отношение уровней первого бокового и главного лепестков.

3. Найти спектр функции отсчетов, используемых в теореме Котельникова.

$$\varphi_k(t) = \frac{\sin(2\pi f_B(t - k\Delta t))}{2\pi f_B(t - k\Delta t)}, \quad \Delta t = \frac{1}{2f_d}$$

Использовать равенство Парсеваля для прямоугольного импульса и дуализм времени и частоты преобразования Фурье.